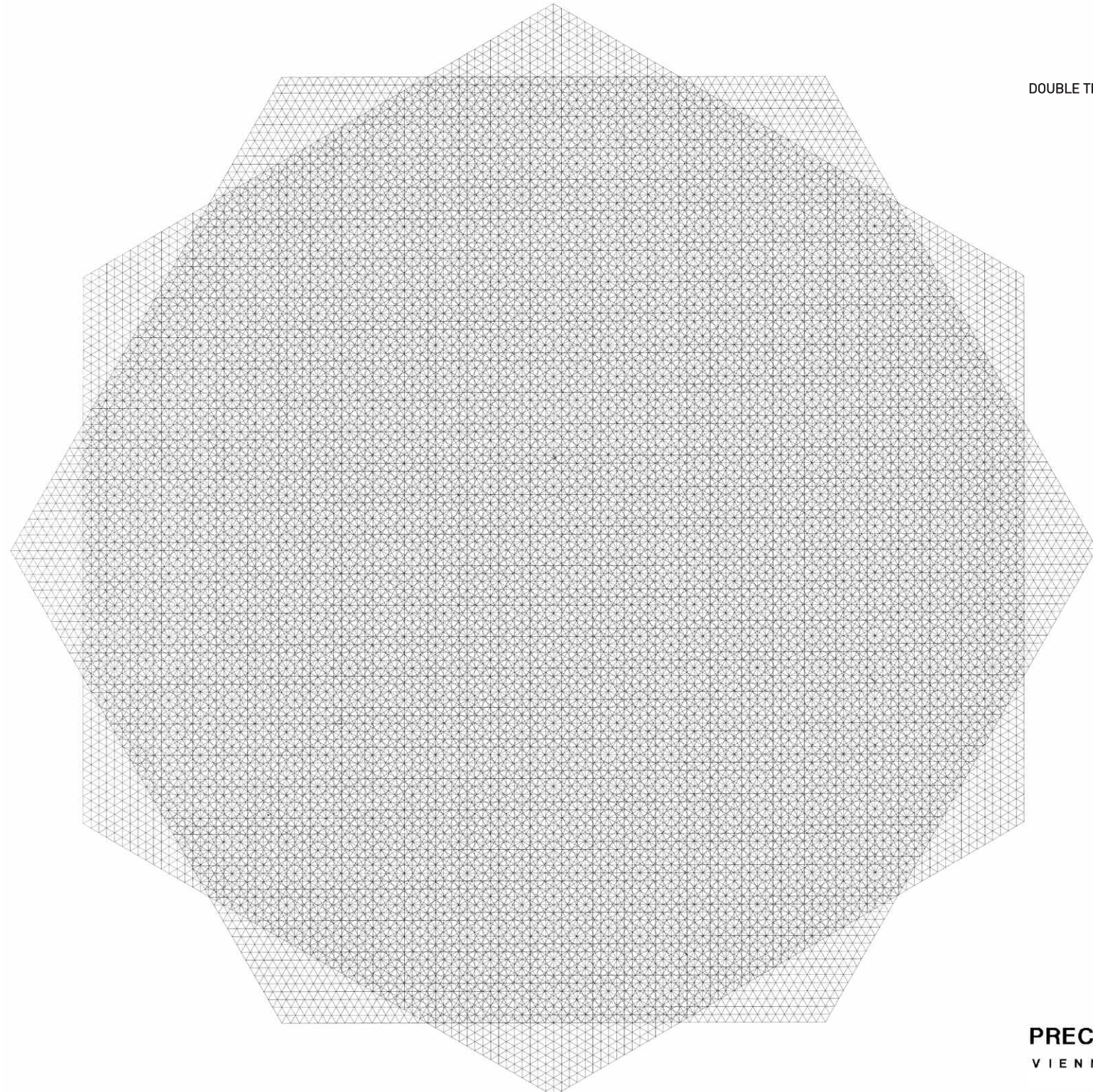


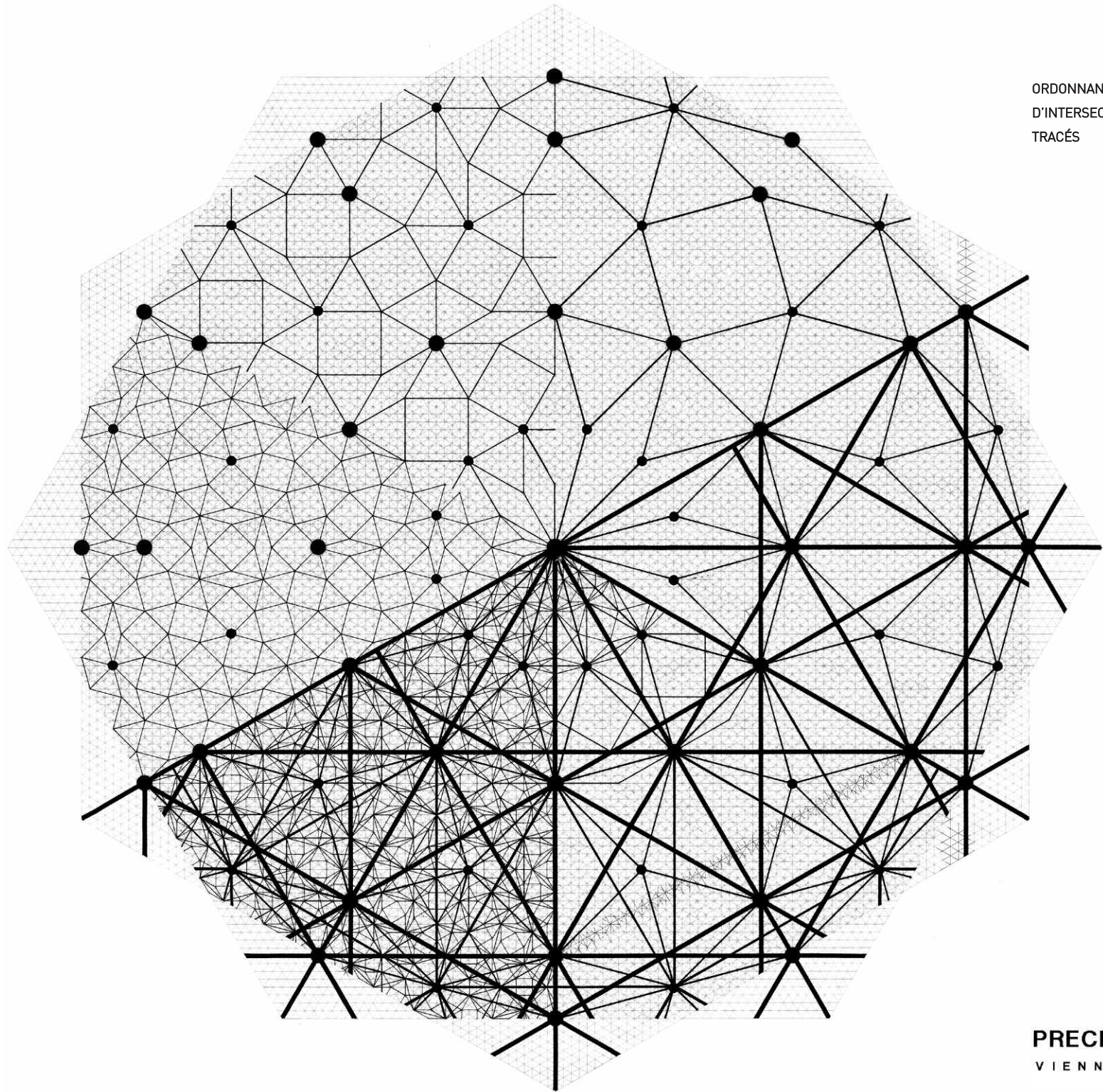
PRECISION FLOUE
VIENNE - 9 JUIN 1996

DOUBLE TRAME TRIANGULAIRE



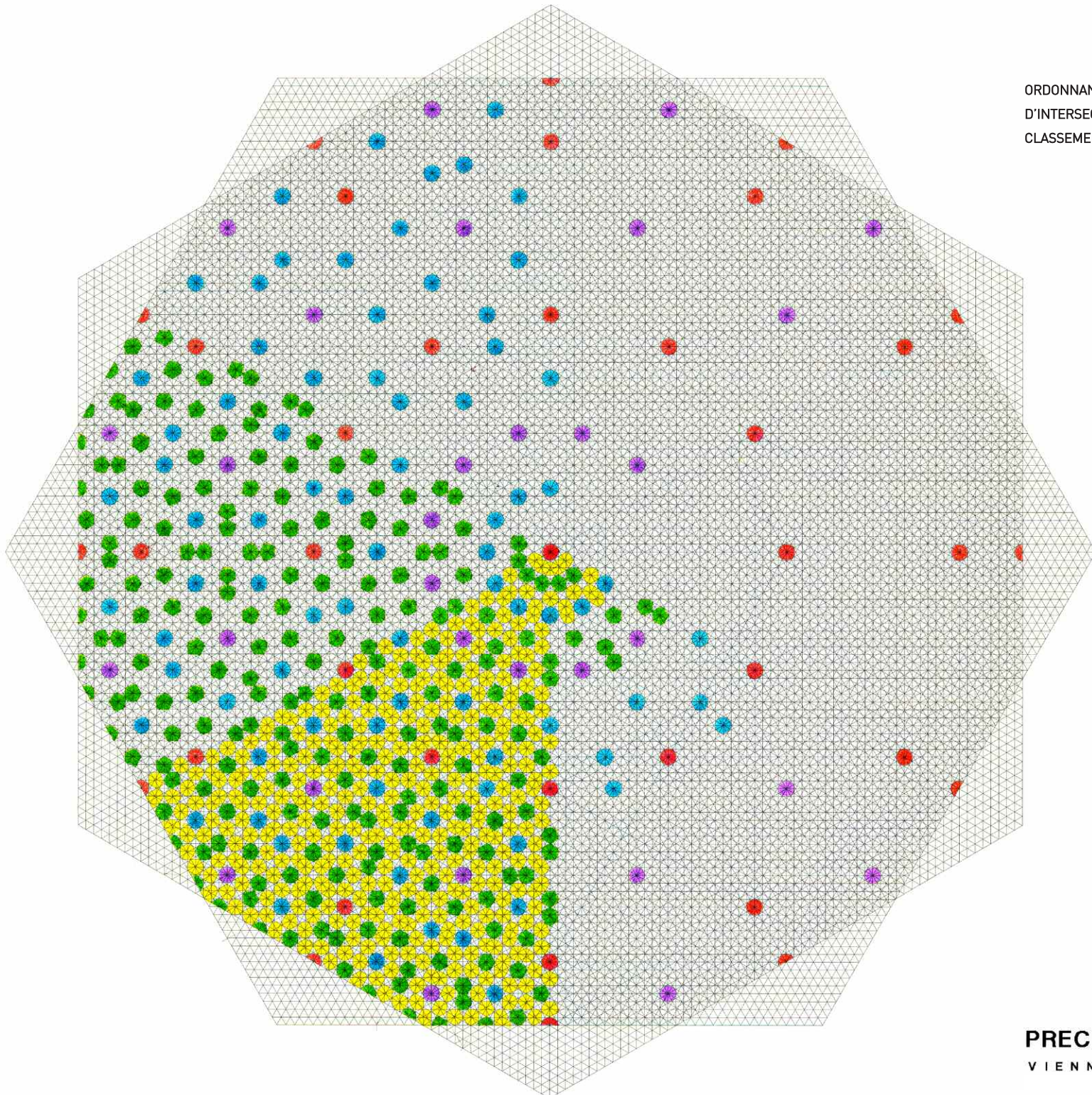
PRECISION FLOUE
VIENNE - 9 JUIN 1996

ORDONNANCE DES PRÉCISIONS
D'INTERSECTIONS DE LA TRAME :
TRACÉS



PRECISION FLOUE
VIENNE - 9 JUIN 1996

ORDONNANCE DES PRÉCISIONS
D'INTERSECTIONS DE LA TRAME :
CLASSEMENT DES INTERSECTIONS



PRECISION FLOUE
VIENNE - 9 JUIN 1996

PRÉCISION FLOUE explications

Trame de base formée de 2 résilles triangulaires équilatérales identiques superposées avec une rotation de 30 degrés à partir d'une intersection commune 0 (origine).

Cette trame considérée sur une grande étendue présente visuellement, en tapis uniforme, une juxtaposition de rondelles à 12 rayons plus ou moins précises parmi lesquelles il est impossible d'identifier le point d'origine 0. (p. 1)

- Existe-t'il d'autres intersections identiques au point 0 ?
- Comment ordonner les intersections de cette trame en fonction de leur précision ?

Partant du point 0, 12 radiales semblables combinent les intersections d'une suite de cotés de triangles équilatéraux ($U=1$) avec celles d'une suite de double hauteurs de ces triangles ($\sqrt{3}$).

Le rythme de convergence de ces deux suites $26 U$ pour $15\sqrt{3}$ (soit : $26/25,980762\dots U$) offre une précision relative pour cette première conjonction.

Avec cette nouvelle unité ($U=26$ environ) et toujours partant du point 0 sur les mêmes radiales, on construit une grande trame analogue à la trame de base.

Les intersections de cette dernière recouvrent approximativement celles de la trame de base les plus précises.

On remarque que les 12 points de la première conjonction - d'une précision égale - sont plus proches entre eux que du point d'origine 0 a une distance, par rapport à celle-ci proportionnellement exacte de $1/\sqrt{2+3}$, mais dans une direction intermédiaire à celles des radiales et à celles des lignes de la trame.

FUZZY PRECISION *description*

Base grid formed of 2 identical equilateral triangular lattices superimposed with a rotation of 30 degrees starting from a common intersection at point 0 (origin).

Considered over a broad area, this base grid appears as a uniform carpet, a juxtaposition of more or less precise disks with 12 radiating rays, among which it is impossible to discern the point of origin 0. (p. 1)

- Are there other intersections identical to point 0?
- How would the intersections of this grid be organized based on their precision?

Starting from point 0, 12 rays combine the intersections of a series of sides of equilateral triangles ($U=1$) with the intersections of a series of triangles with a sides equal to two times the height of the first-series triangles ($\sqrt{3}$).¹

The rate of convergence of these two series - $26U$ for $15\sqrt{3}$ (i.e., $26/25,980762\dots U$) - provides a measure of precision for this first precision conjunction.

With this new unit ($U=26$ approximately) and still starting from point 0 on the same radii, we now construct a large grid similar to the base grid.

The intersections of this second grid roughly cover the most precise intersections of the base grid.

We note that the 12 points of equal precision comprising the first conjunction are nearer to each other than they are to the point of origin 0 by a distance in the exact proportion of $1/[\sqrt{2+\sqrt{3}}]$, but along intermediate radii midway between the radii of the original grid.

Cette distance dans cette nouvelle direction, prise comme module de précision, permet par maillage de relier l'ensemble des 36 premiers points issus de la grande trame avec 36 points intermédiaires situés sur de nouvelles radiales décalées de 15 degrés, pour former une rosace dont tous les points coïncident aux 72 intersections les plus précises de la trame de base autour du point 0.

Cette rosace dodécagonale (régulière) de rayon égal à 2 fois la première conjonction (52 U environ) est formée de polygones (triangles équilatéraux, carrés, losanges) ayant pour cotés le module de maillage et dont les angles sont des multiples de 30 degrés (60, 90, 30 et 150 respectivement).

Elle correspond au niveau 7 d'expansion de la rosace harmonique.

Par maillage identique au précédent, mais prenant pour module la distance entre les premiers points intermédiaires, on obtient, construite sur les radiales décalées de 15 degrés, la même rosace réduite dans la même proportion de $1/\sqrt{2+3}$ et correspondante au niveau 6 d'expansion de la rosace harmonique. (p. 2)

Poursuivant cette démarche jusqu'au niveau 1 (expansion 0), cette dernière rosace construite sur les mêmes radiales que celles des niveaux 3, 5 et 7 aura un rayon égal à 1 U. (p. 3)

L'ensemble de ces rosaces superposées constitue la rosace harmonique dont le nombre de niveaux d'expansion au-delà du niveau 7 peut être illimité. (p. 4)

On peut donc constater pour la rosace harmonique :

- un rythme d'expansion de $\sqrt{2+\sqrt{3}}$ alterné pair/impair sur des radiales décalées de 15 degrés (ou un rythme d'expansion de $2+\sqrt{3}$ sur une seule radiale paire ou impaire).
- que ce rythme engendre à chaque niveau un maillage d'éléments modulaires - triangles, carrés, losanges - définissant la structure d'un pavage continu. (p. 5)

Le pavage est caractérisé par le module du maillage.

This distance along the new directions of the intermediate radii, taken as a modular length, makes it possible to construct a "net" comprised of all of the first 36 points of the large grid with the 36 intermediate points situated on a new set of rays rotated by 15 degrees, to form a rosette, all of whose points coincide with the 72 most precise intersections of the base grid around the point 0.

This (regular) dodecagonal rosette with radii equal to 2 times the first conjunction (52U approximately) is formed from polygons (equilateral triangles, squares, rhombuses) having the modular length as sides and having angles in multiples of 30 degrees.

This dodecagonal rosette corresponds to level 7 of the expansion of the harmonic rosette.

Creating a netting identical to the preceding, but taking as a modular length the distance between the first intermediate points, we obtain -- constructed on the radii rotated 15° -- the same rosette, reduced in the same proportion of $1/\sqrt{2+\sqrt{3}}$ and corresponding to level 6 of the expansion of the harmonic rosette. (p. 2)

Continuing this step down to level 1 (expansion 0), this last rosette -- built on the same radii as those of levels 3, 5, and 7 -- will have a radius equal to 1U. (p. 3)

The set of these superposed rosettes constitutes the harmonic rosette, which can be expanded to an unlimited number of expansion levels beyond level 7. (p. 4)

We note the following for the harmonic rosette :

- an expansion rate of $\sqrt{2+\sqrt{3}}$ alternating on even/odd radii rotated 15° (or an expansion rate of $2+\sqrt{3}$ on any given even or odd radius).
- this expansion rate generates at each level a netting of modular (i.e. equal-edge) elements - triangles, squares, rhombuses - defining the structure of a continuous tiling. (p. 5)

The tiling's defining characteristic at each level is the netting module (length).

Il est le prolongement illimité des rosaces, possible à chaque niveau par répétition des éléments qu'elles contiennent (tous et eux seuls) y compris dans la disposition de superposition des niveaux différents.

Chaque élément (triangle, carré, ou losange) venant au-delà de sa rosace s'inscrire et s'intercaler de proche en proche dans les éléments du niveau supérieur de manière entièrement déterminée et toujours identique, révélant un ordre fractal non périodique. (p. 7, 8, 9, et 10)

Avec comme base $U=1=OI$ rayon de la rosace du niveau 1 (p. 3), on constate également :

- que tous les points de la rosace harmonique et ceux des différents pavages sont déterminés avec précision et situés exactement à égale distance entre les intersections de la trame cumulant les valeurs de U et celles cumulant les valeurs $\sqrt{3}$ les plus proches, soit :

$$P = (xU + y\sqrt{3})/2 \text{ (p. 6)}$$

Enfin, on remarque :

- que plus le niveau d'expansion de la rosace est élevé et plus la distance du point 0 est grande, plus la précision entre les points de la rosace et les intersections de la trame augmente, sans jamais atteindre celle du point 0.
- et inversement, que lorsque le niveau d'expansion diminue, le nombre d'intersections de la trame concernées augmente avec une précision moindre.

Au niveau 4, le module de maillage est de $1+\sqrt{3}/2 U$

Il donne un pavage très proche de l'ensemble des « rondelles visibles » de la trame de base, l'ordonnance de leurs précisions étant hiérarchisée par la superposition des pavages de niveaux supérieurs.

The tiling is the unlimited prolongation of the rosettes, possible at each level by repeating the elements which they contain. This is true also in the positioning of superposed levels.

Each element (triangle, square, or rhombus) moves beyond its rosette to fit and intercalate element by element within the elements of the higher level in an entirely determinate and always identical manner, revealing an aperiodic fractal order. (p. 7, 8, 9, and 10)

With $U=1=OI$ as a base - the radius of the level 1 rosette - (p. 3), we also note that :

- all points of the harmonic rosette and those of the various tilings are precisely determined and located exactly at equal distance between the intersections of the grid that combines the values of U and the grids combining the nearest values $\sqrt{3}$, i.e. :

$$P = (xU + y\sqrt{3})/2 \text{ (p. 6)}$$

Lastly, we note that :

- The greater the rosette's expansion level and the greater the distance from point 0, the greater the precision between the rosette points and the grid intersections, but without ever attaining the precision of the point of origin 0.
- The greater the rosette's expansion level and the greater the distance from point 0, the greater the precision between the rosette points and the grid intersections, without ever reaching the precision of point 0.

At level 4, the netting module (modular length) is $1+\sqrt{3}/2 U$

It gives a tiling very close to the base grid's set of “visible disks”, the ordering of their precisions being ranked by the superposition of the tilings of higher levels.

1. Translator's note (TN) : After superposing a second trigonal lattice (both “base” lattices composed of equilateral triangles with sides of length = 1), but rotated 30° relative to the first lattice, a 3rd “virtual” trigonal lattice emerges, composed of the points at which lines of the two base lattices intersect. The triangles of this third trigonal lattice have sides of length $\sqrt{3}$, composed of two altitudes of a base-lattice triangle.

In considering whether there would ever be another point of equal precision as the origin, the answer is No, because $\sqrt{3}$ is irrational and no multiple of $\sqrt{3}$ will ever be an exact integer.

PRÉCISION FLOUE

vérifications

C

Position des points caractéristiques de la rosace harmonique par rapport aux intersections de la trame de base sur une radiale impaire d'origine O.

(rythme d'expansion $2+\sqrt{3}$: 3,732050... voir dessins)

$U = 1$, base de calcul coté du triangle équilatéral de la trame

$\sqrt{3} = 1,732050...$ double hauteur du même triangle.

Position of the harmonic rosette's characteristic points compared with the intersections of the base grid on an odd radius from origin O.

(expansion rate $2+\sqrt{3}$: 3.732050... see drawings ; see drawing 5 for harmonic rosette points)

$U = 1$, calculation base, the side of the base grid's equilateral triangle

$\sqrt{3} = 1.732050...$ twice the height of the base grid's equilateral triangle.

Intersections Trame / Grid		Points Rosace H. Harmonic rosette pts	Distance/U depuis origine 0 Distance (U) from origin 0	Imprécision symétrique Symmetrical imprecision
U	$\sqrt{3}$	O	0	0
1/2	1/2	B ¹ , A ²	0,5	0
		D ¹	0,866 025	0
		I ¹ 1	1	0
		C ²	1,366 025	0,366 025
			1,732 050	0,366 025
		E ² , B ³ , A ⁴	1,866 025	0,133 974
1	1		2	
			3	
		D ³	3,232 050	0,232 050
			3,464 101	0,232 050
		I ³ 3	3,732 050	0,267 949
			4	
2	2		5	
		C ⁴	5,098 076	0,098 076
			5,196 152	0,098 076
3	3			

U	$\sqrt{3}$			
	4			
7		E ⁴ , B ⁵ , A ⁶	6,928 203	0,035 898
12	7	D ⁵	6,964 101	
14	8	I ⁶ 5	12	0,062 177
19	11	C ⁶	12,124 355	
26	15	E ⁶ , B ⁷ , A ⁸	13,856 406	
45	26	D ⁷	13,928 203	0,071 796
52	30	I ⁷ 7	14	
			19	
			19,026 279	0,026 279
			19,052 558	
			25,980 762	
			25,990 381	0,009 618
			26	
			45	
			45,016 660	0,016 660
			45,033 320	
			51,961 524	
			51,980 762	0,019 237
			52	

Intersections Trame / Grid		Points Rosace H. Harmonic rosette pts	Distance/U depuis origine 0 Distance (U) from origin 0	Imprécision symétrique Symmetrical imprecision
U	$\sqrt{3}$			
71	$\sqrt{3}$		71 71,007 041 71,014 083	\triangleright 0,007 041
	41	C ⁸	96,994 845 96,997 422	\triangleright 0,002 577
97	56	E ⁸ , B ⁹ , A ¹⁰	97	
168	97	D ⁹	168 168,004 464 168,008 928	\triangleright 0,004 464
	112	I ⁹ 9	193,989 690 193,994 845	\triangleright 0,005 154
194			194	
265	153	C ¹⁰	265 265,001 886 265,003 773	\triangleright 0,001 886
209		E ¹⁰ , B ¹¹ , A ¹²	361,998 618 361,999 309	\triangleright 0,000 690
362			362	
627	362	D ¹¹	627 627,001 196 627,002 392	\triangleright 0,001 196

U	$\sqrt{3}$			
724	418	I ¹¹ 11	723,997 237 723,998 618	\triangleright 0,001 381
989	571	C ¹²	724 989 989,000 505 989,001 011	\triangleright 0,000 505
780	1 351	E ¹² , B ¹³ , A ¹⁴	1 350,999 629 1 350,999 814	\triangleright 0,000 185
2 340	1 351	D ¹³	1 351 2 340 2 340,000 320 2 340,000 641	\triangleright 0,000 320
1 560	1 560	I ¹³ 13	2 701,999 259 2 701,999 629	\triangleright 0,000 370
2 702	2 702		2 702	
3 691	2 131	C ¹⁴	3 691 3 691,000 135 3 691,000 270	\triangleright 0,000 135
2 911	5 042	E ¹⁴ , B ¹⁵ , A ¹⁶	5 041,999 900 5 041,999 950	\triangleright 0,000 049
			5 042	

Intersections Trame / Grid		Points Rosace H. Harmonic rosette pts	Distance/U depuis origine 0 Distance (U) from origin 0	Imprécision symétrique Symmetrical imprecision
U	$\sqrt{3}$			
8 733		D ¹⁵	8 733 8 733,000 085 8 733,000 171	0,000 085
	5 042	I ¹⁵	10 083,999 801 10 083,999 900 10 084	0,000 099
10 084		C ¹⁶	13 775 13 775,000 036 13 775,000 072	0,000 036
13 775		E ¹⁶ , B ¹⁷ , A ¹⁸	18 816,999 873 18 816,999 986 18 817	0,000 013
18 817		D ¹⁷	32 592 32 592,000 022 32 592,000 016	0,000 023
32 592		I ¹⁷	37 633,999 972 37 633,999 946 37 634	0,000 027
37 634		C ¹⁸	51 409 51 409,000 009 51 409,000 019	0,000 010
51 409				
29 681				
...				

Position de points intermédiaires aux précédents, déterminés par le prolongement et la répétition en PAVAGE des éléments de la rosace du niveau 3 d'expansion (par exemple).

EE = 1,866 025 ; CC = 1,366 025 ; AA = 0,500 000

Les points encadrés, communs au PAVAGE et à la rosace harmonique sont déjà précisés précédemment.

Position of points intermediate to the preceding, determined by prolongation and repetition in TILING the elements of the rosette of level 3 of the expansion (for example):

EE = 1.866 025; DC = 1.366 025; AA = 0.500 000

The framed points - in common with the TILING and the harmonic rosette - were already specified above.

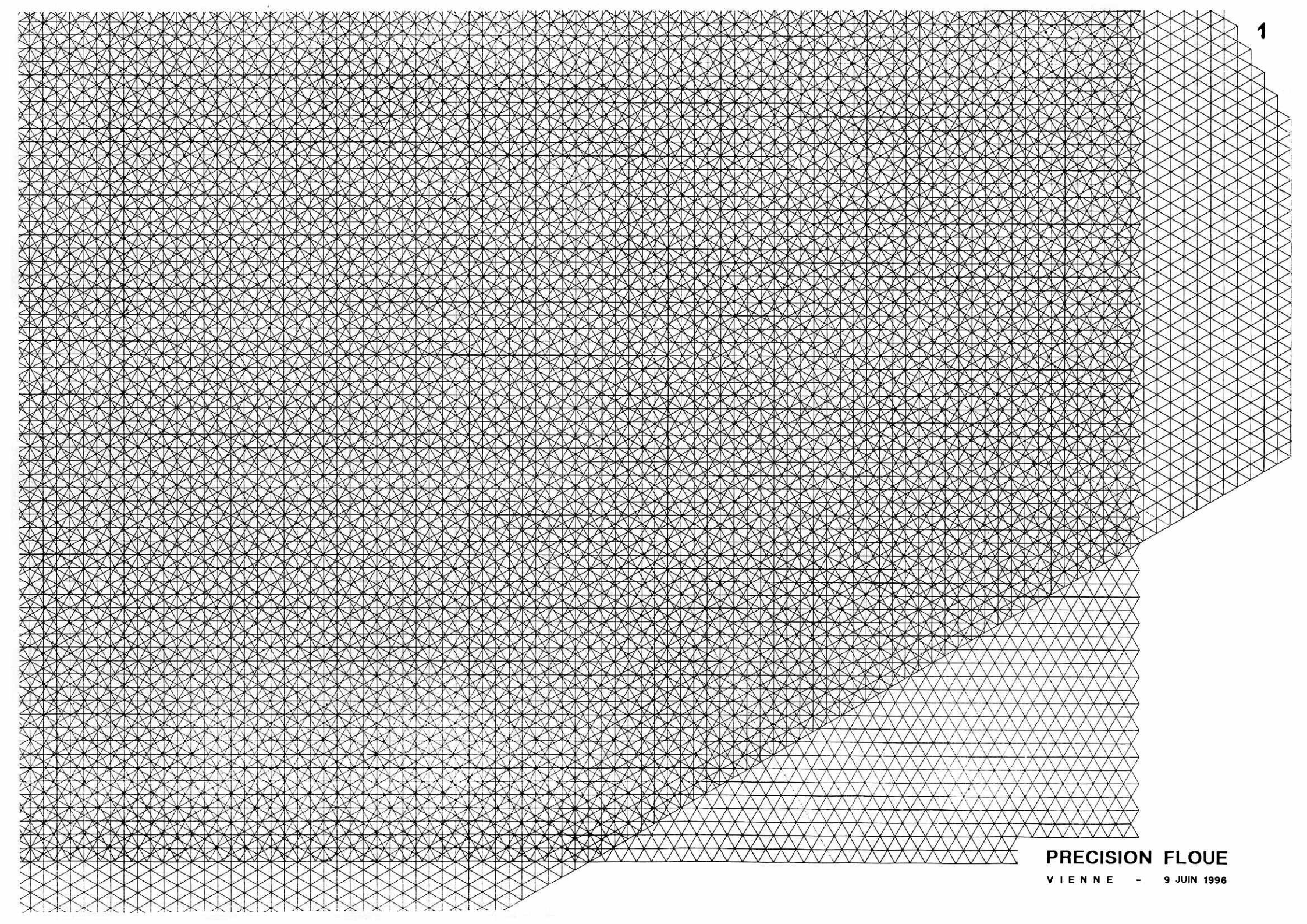
Intersections Trame / Grid	Points pavage Tiling points	Entre Points Between points	Distance/U depuis origine 0 Distance (U) from origin 0	Imprécision symétrique Symmetrical imprecision
U	$\sqrt{3}$	O	0	
		B ³	1,866 025	
		D ³	3,232 050	
		I ³	3,732 050	
		C ⁴	5,098 076	
		E ⁴ , B ⁵ , A ⁶	6,964 101	
8			8	
	5	D ³	8,330 127 8,660 254	0,330 127 0,169 873
9		D ³	8,830 127	
			9	
10			10	
	6	D ³	10,196 152 10,392 304	0,196 152 0,303 848
11		D ³	10,696 152	
			11	

Intersections Trame / Grid		Points pavage Tiling points	Entre Points Between points	Distance/U depuis origine O Distance (U) from origin O	Imprécision symétrique Symmetrical imprecision	U	$\sqrt{3}$	E ⁶ , B ⁷ , A ⁸	EE	25,990 381
U	$\sqrt{3}$					27	16	D ³	CC	27
		D ⁵	CC	12,062 177						27,356 406
		I ⁵ 5	EE	13,928 203						27,712 813
15	9	D ³	CC	15		28	17	D ³	AA	27,856 406
		D ³	CC	15,294 228	0,294 228					28
		D ³	AA	15,588 457		29	17	D ³	CC	29,222 432
16	10	D ³	AA	15,794 228	0,205 771					29,444 863
		D ³	CC	16		30	17	D ³	AA	29,722 432
17	10	D ³	CC	17						30
		D ³	CC	17,160 254	0,160 254	31	18	B ³	CC	31,088 457
18	12	C ⁶	CC	17,320 508						31,176 914
		C ⁶	AA	17,660 254	0,339 746	18	19	B ³	EE	32,908 965
		B ³	EE	18						32,954 482
21		B ³	EE	19,026 279		33	20	D ³	CC	34,320 508
		B ³	EE	20,784 609						34,641 016
22		D ³	CC	20,892 304	0,107 695	34	20	D ³	AA	34,820 508
		D ³	CC	21						35
23	13	D ³	CC	22		35				
		D ³	CC	22,258 330	0,258 330					
		D ³	AA	22,516 660						
24	14	B ³	CC	22,758 330	0,241 670					
		B ³	CC	23						
		B ³	CC	24						
		B ³	CC	24,124 355	0,124 355					
		B ³	CC	24,248 711						

Intersections Trame / Grid		Points pavage Tiling points	Entre Points Between points	Distance/U depuis origine 0 Distance (U) from origin 0	Imprécision symétrique Symmetrical imprecision	U	$\sqrt{3}$				
U	$\sqrt{3}$										
36				36		47	27	B ³	EE	46,765 372	
	21	D ³	CC	36,186 533		48		D ³	CC	46,882 686	0,117 314
				36,373 067						47	
37		D ³	AA	36,686 533		28		D ³	CC	48,248 711	
				37						48,497 423	0,248 711
38				38		49		D ³	AA	48,748 711	
	22	B ³	CC	38,052 558		50		49		49	0,251 289
				38,105 117						50	
	23	B ³	EE	39,837 168		29		B ³	CC	50,114 738	
				39,918 584						50,229 473	0,114 738
40				40		53		I ⁷ 7	EE	51,980 762	
										53	
41		D ³	CC	41		31		D ³	CC	53,346 788	
	24	D ³	AA	41,284 610						53,693 575	0,346 788
				41,569 219						53,846 788	
42		D ³	AA	41,784 610		54		D ³	AA	54	0,153 212
				42						55	
43		D ³	CC	43		55		D ³	CC	55,212 813	
	25	D ³	AA	43,150 635		32		D ³	AA	55,425 626	
				43,301 270						55,712 813	0,212 813
44		D ³	AA	43,650 695		56		D ³	AA	56	
		D ⁷	CC	44		57		B ³	CC	57,078 838	
				45,016 660		33				57,157 676	0,078 838

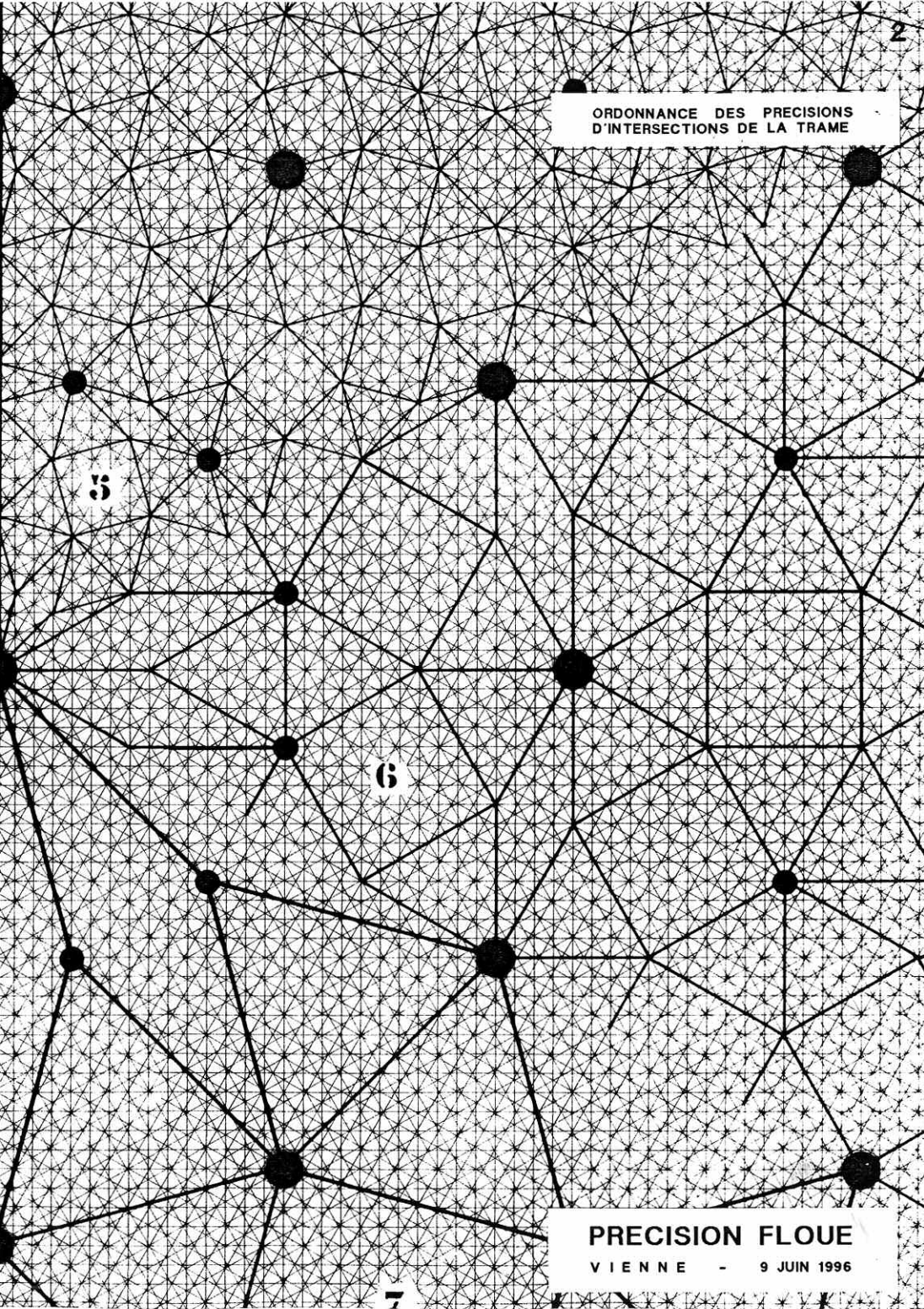
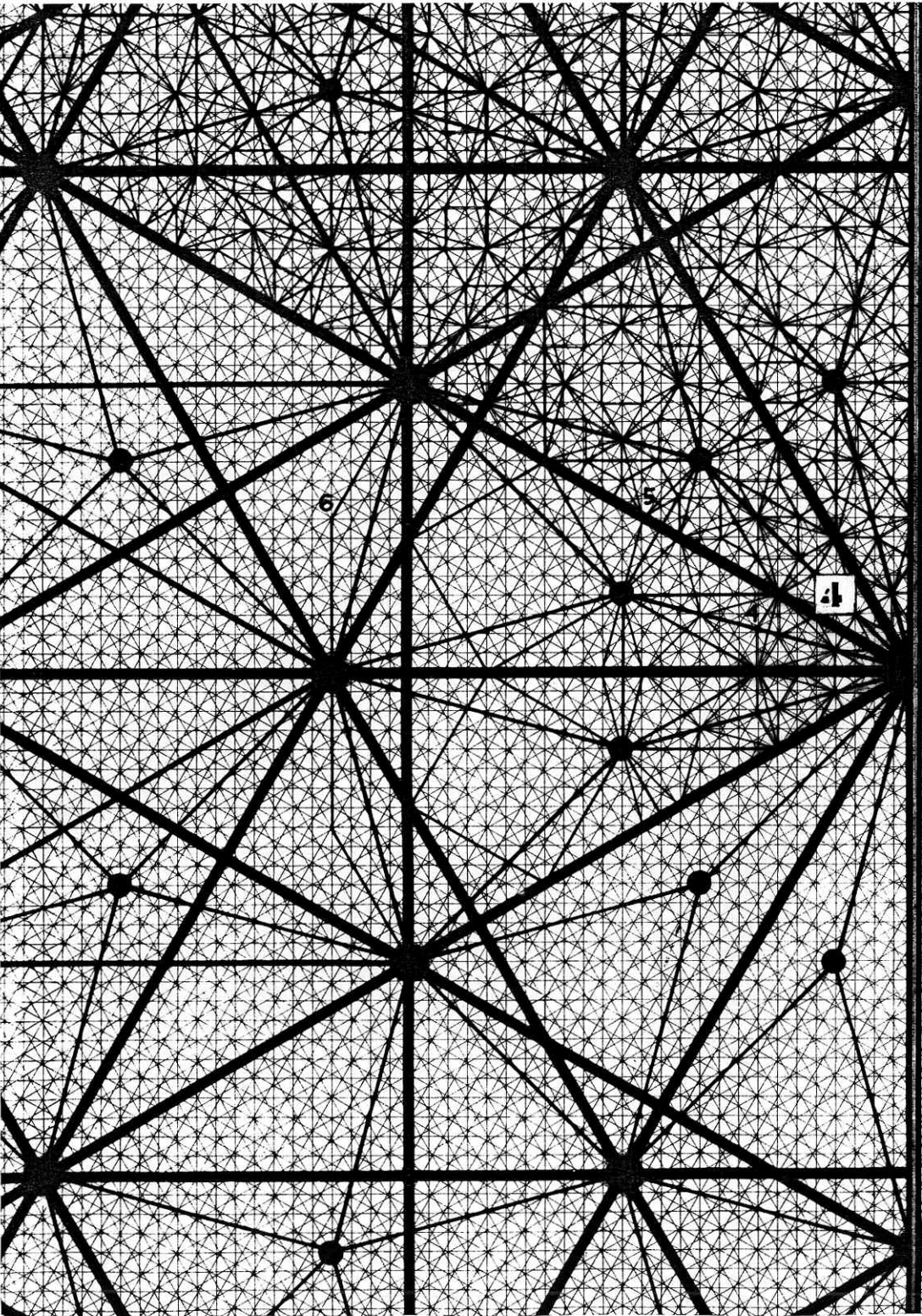
Intersections Trame / Grid	Points pavage Tiling points	Entre Points Between points	Distance/U depuis origine 0 Distance [U] from origin 0	Imprécision symétrique Symmetrical imprecision
U	$\sqrt{3}$			
59	34	B ³	EE 58,889 727 58,944 864 59	>>> 0,055 196
60	35	D ³	CC 60 60,310 889 60,621 778	>>> 0,310889
61		D ³	AA 60,810 889 61	>>> 0,189 111
62	36	D ³	CC 62 62,176 915 62,353 829	>>> 0,176 915
63		D ³	AA 62,676 915 63	>>> 0,323 085
64	37	B ³	CC 64 64,042 940 64,085 880	>>> 0,042 940
66	38	B ³	EE 65,817 990 65,908 965 66	>>> 0,091 035

U	$\sqrt{3}$					
67	39	D ³	CC 67	67,274 991 67,549 981	>>> 0,274 991	
68		D ³	AA 68	67,774 991 68	>>> 0,225 009	
69	40	D ³	CC 69	69,141 016 69,282 032	>>> 0,141 016	
70		D ³	AA 70	69,641 016 70	>>> 0,358 983	
		C ³	EE 71,007 041			



PRECISION FLOUE

VIENNE - 9 JUIN 1996

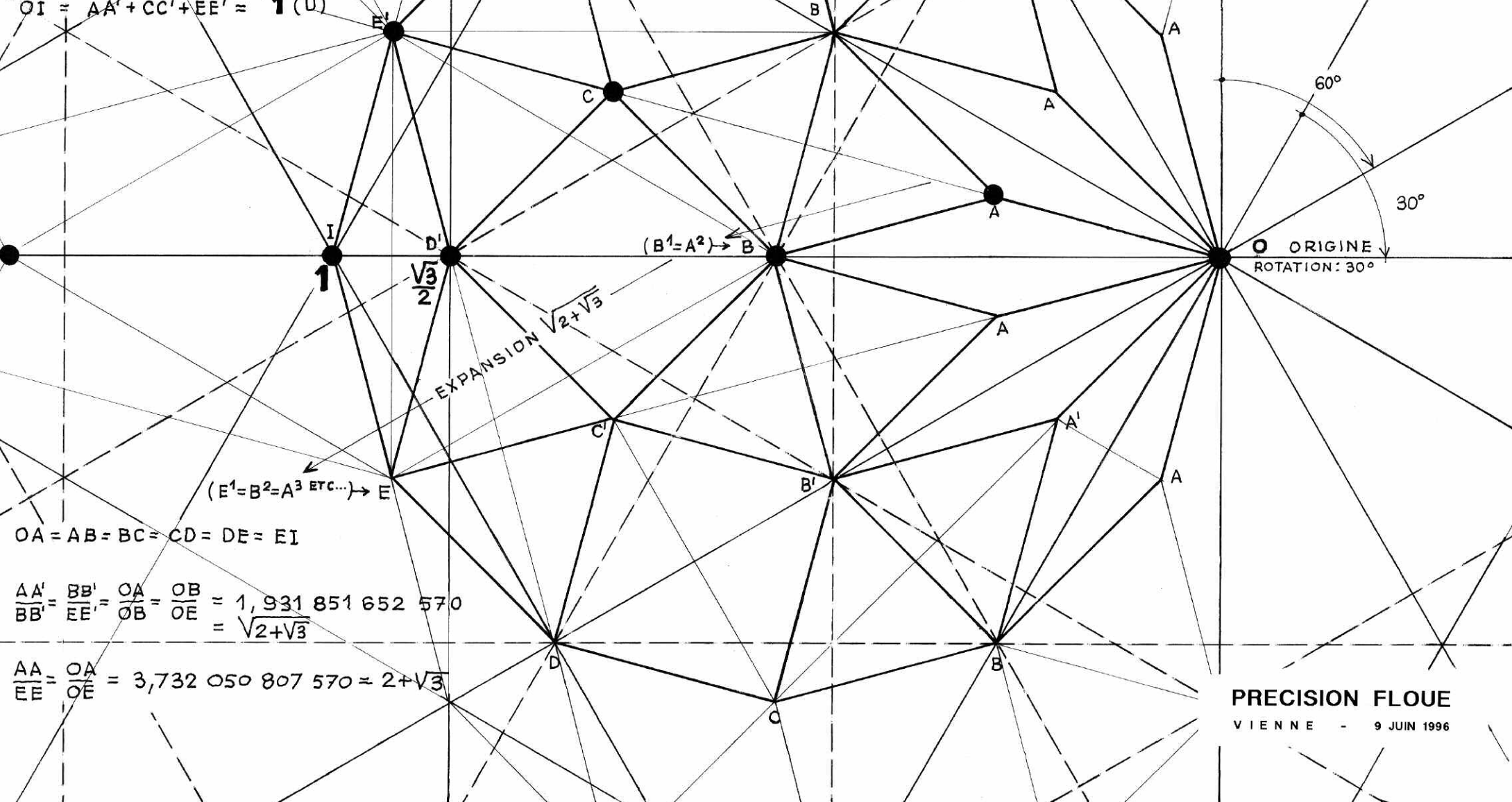


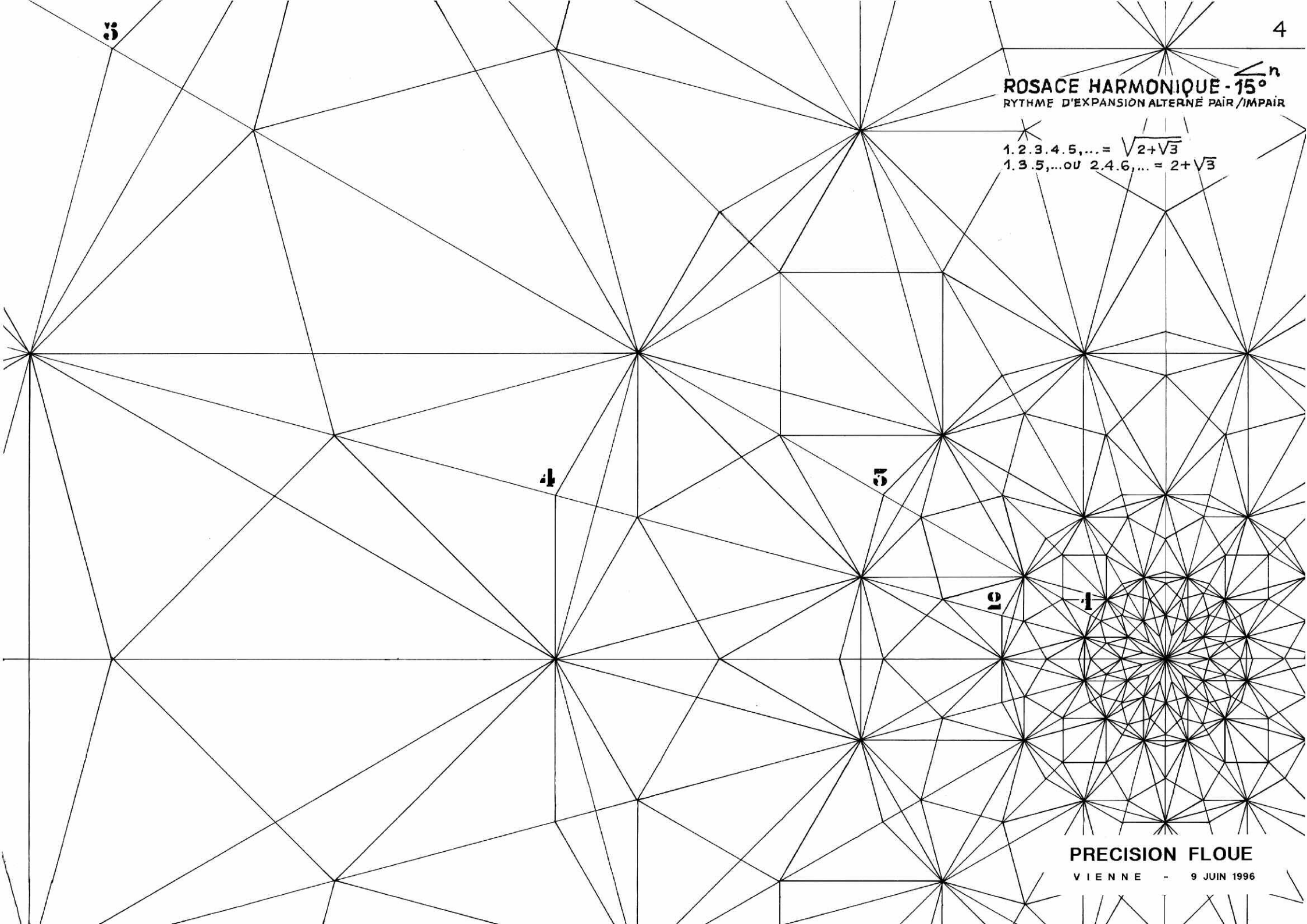
ORDONNANCE DES PRECISIONS
D'INTERSECTIONS DE LA TRAME

PRECISION FLOUE
VIENNE - 9 JUIN 1996

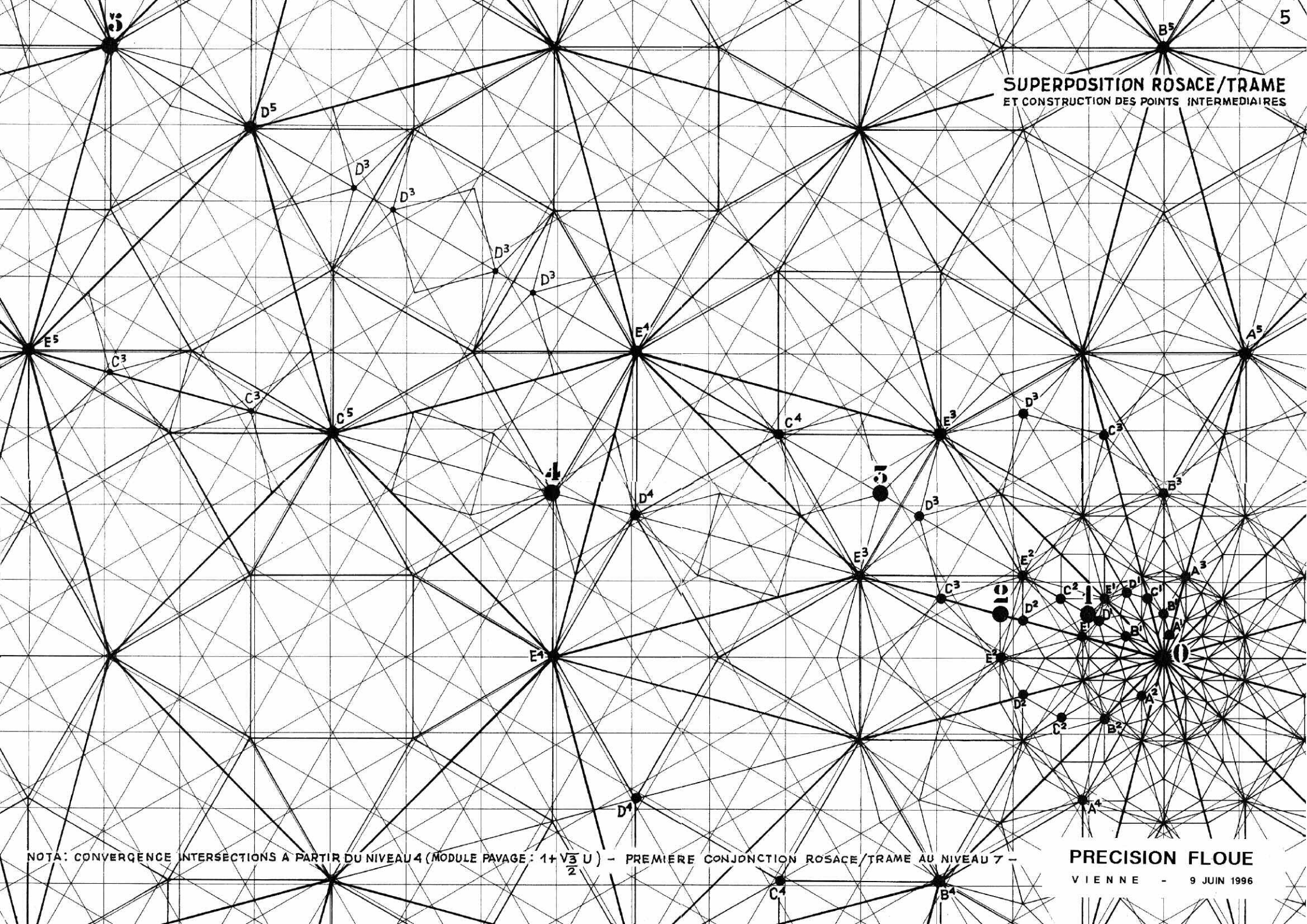
$AA' = O, 133 \ 974 \ 596 \ 216$
 $BB' = O, 258 \ 819 \ 045 \ 103$
 $CC' = O, 366 \ 025 \ 403 \ 783$
 $DD' = O, 448 \ 287 \ 736 \ 083$
 $EE' = O, 5$

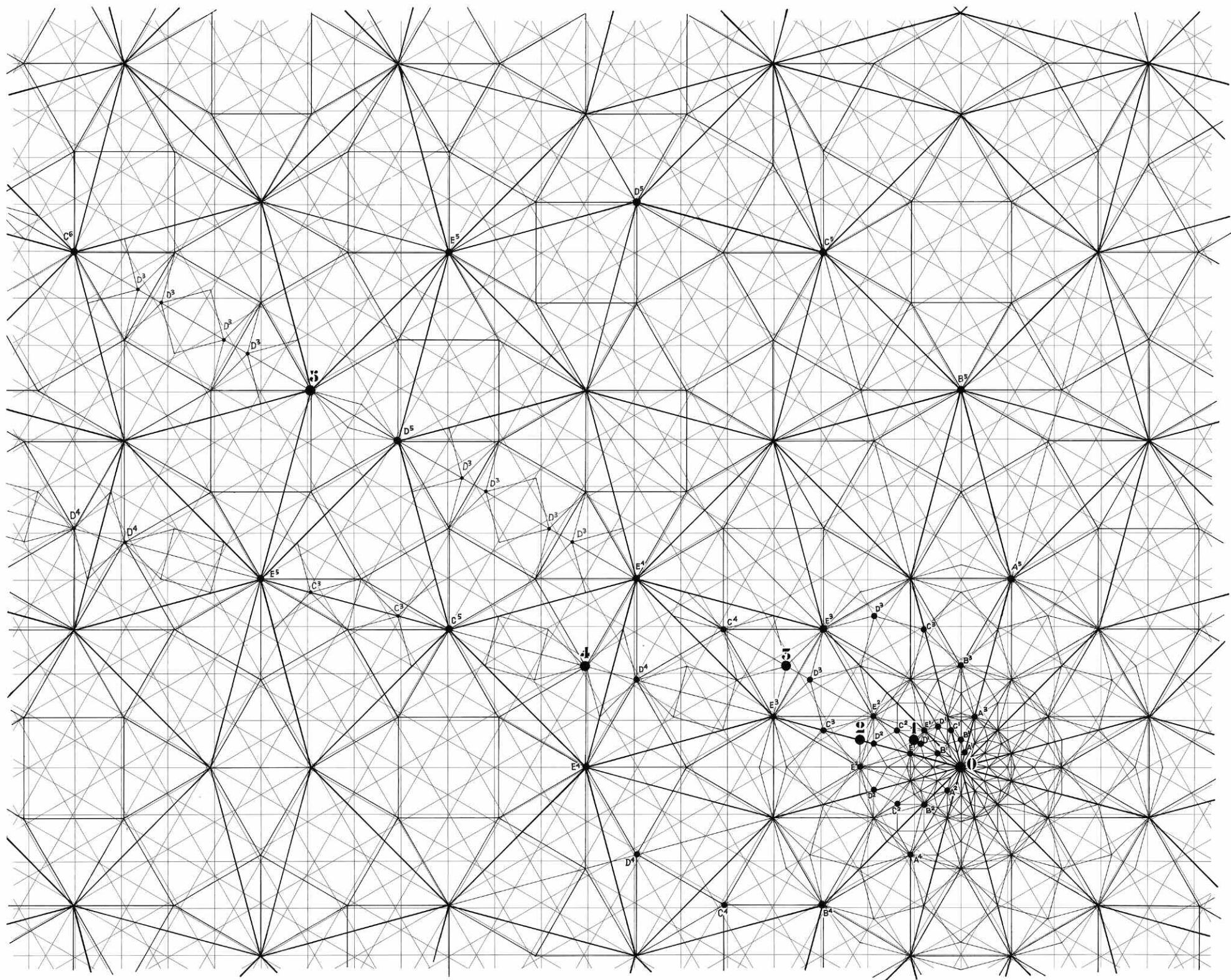
$OA = BB'$
 $OB = EE'$
 $OC = BB' + DD' = \frac{\sqrt{3}}{2}$
 $OD = CC' + EE' = \frac{\sqrt{3}}{2}$
 $OE = BB' + BB' + DD' = 1 (U)$
 $OI = AA' + CC' + EE' = 1 (U)$





SUPERPOSITION ROSACE/TRAME
ET CONSTRUCTION DES POINTS INTERMEDIAIRES

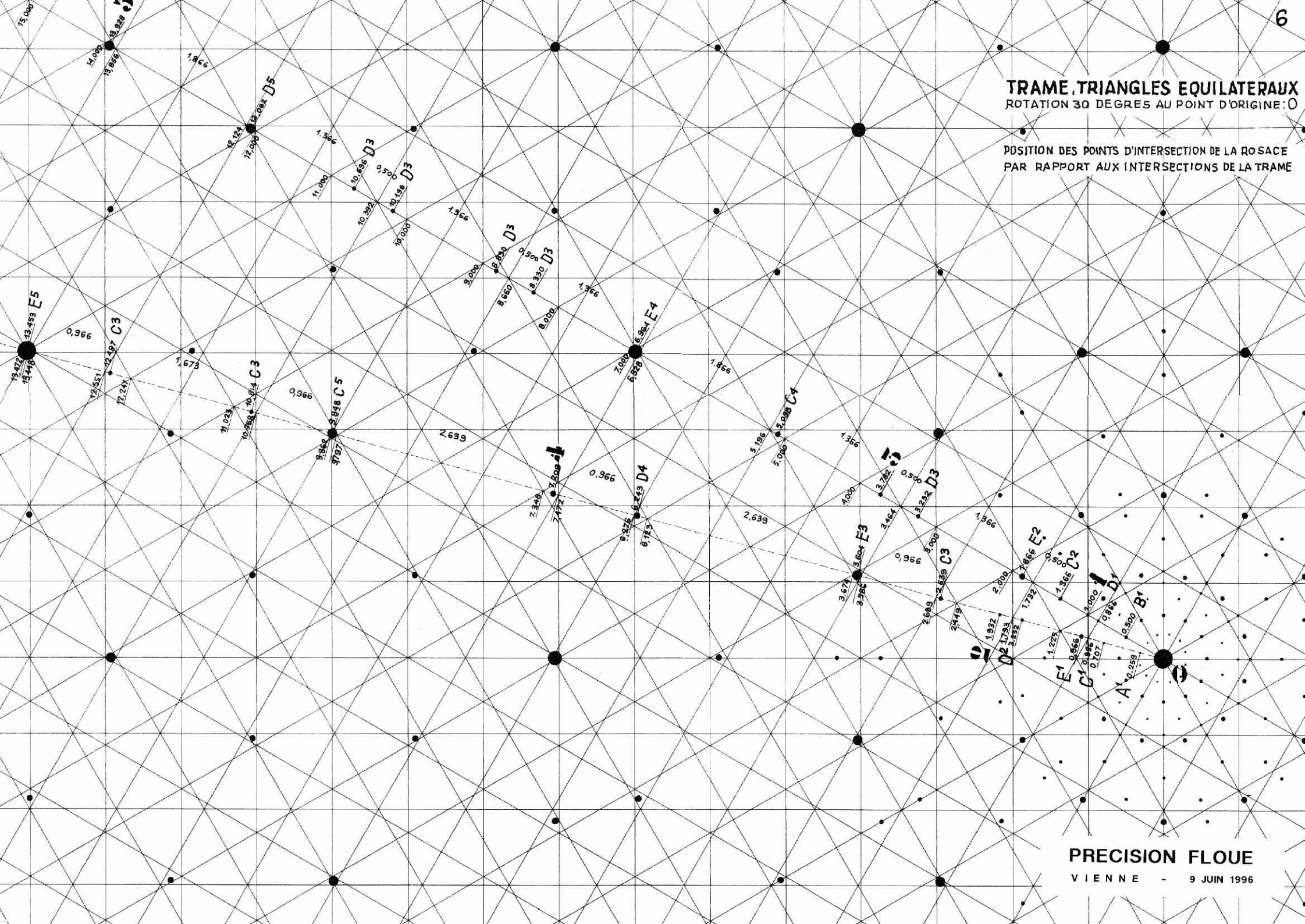


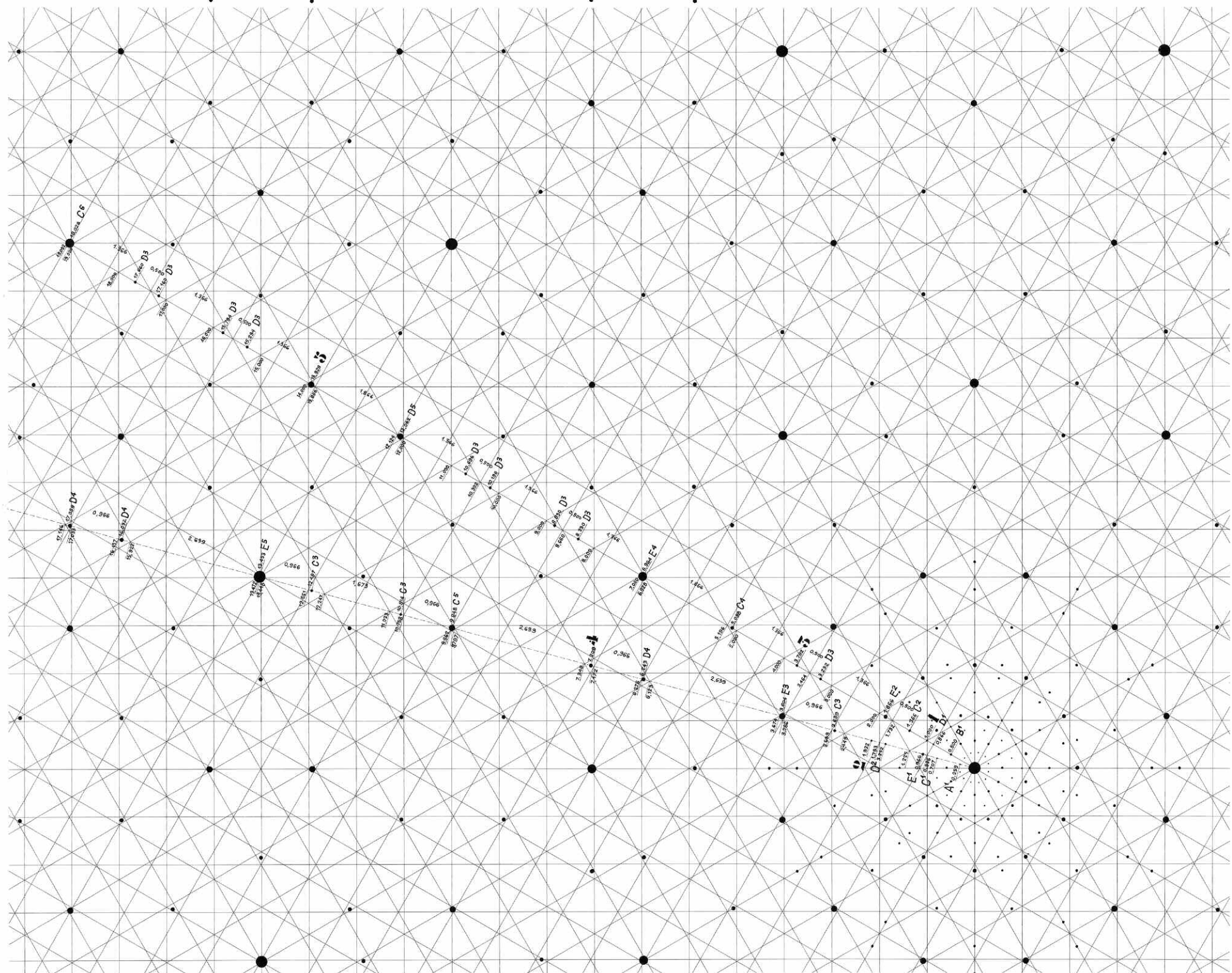


TRAME TRIANGLES EQUILATERAUX
ROTATION 30 DEGRES AU POINT D'ORIGINE: 0

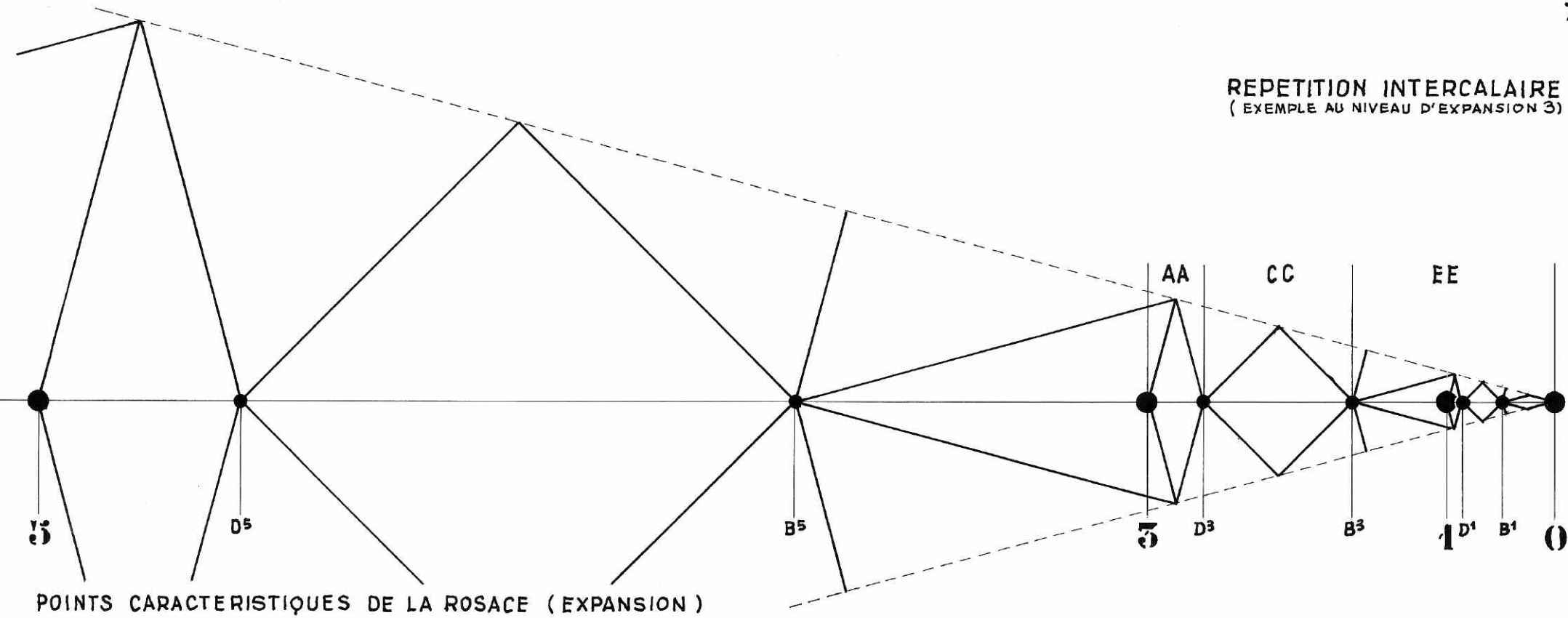
POSITION DES POINTS D'INTERSECTION DE LA ROSACE
PAR RAPPORT AUX INTERSECTIONS DE LA TRAME

PRECISION FLOUE
VIENNE - 9 JUIN 1996

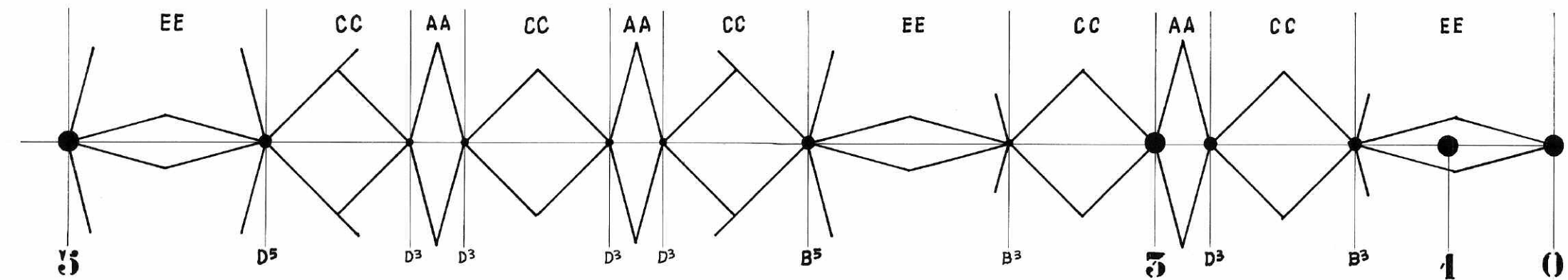




REPETITION INTERCALAIRE
(EXEMPLE AU NIVEAU D'EXPANSION 3)



POINTS CARACTERISTIQUES DE LA ROSACE (EXPANSION)



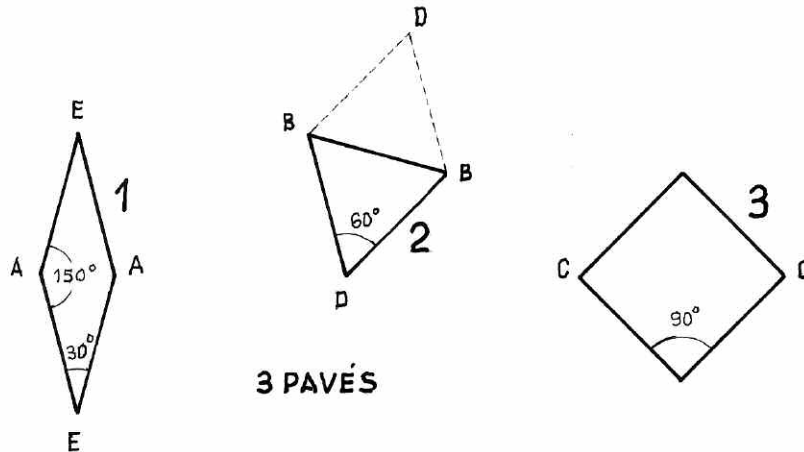
POINTS CARACTERISTIQUES + POINTS INTERMEDIAIRES (PAVAGE)

PRECISION FLOUE

VIENNE - 9 JUIN 1996

1 MODULE DE LONGUEUR

BASE: $1 + \sqrt{\frac{3}{2}} U$ NIVEAU D'EXPANSION 4

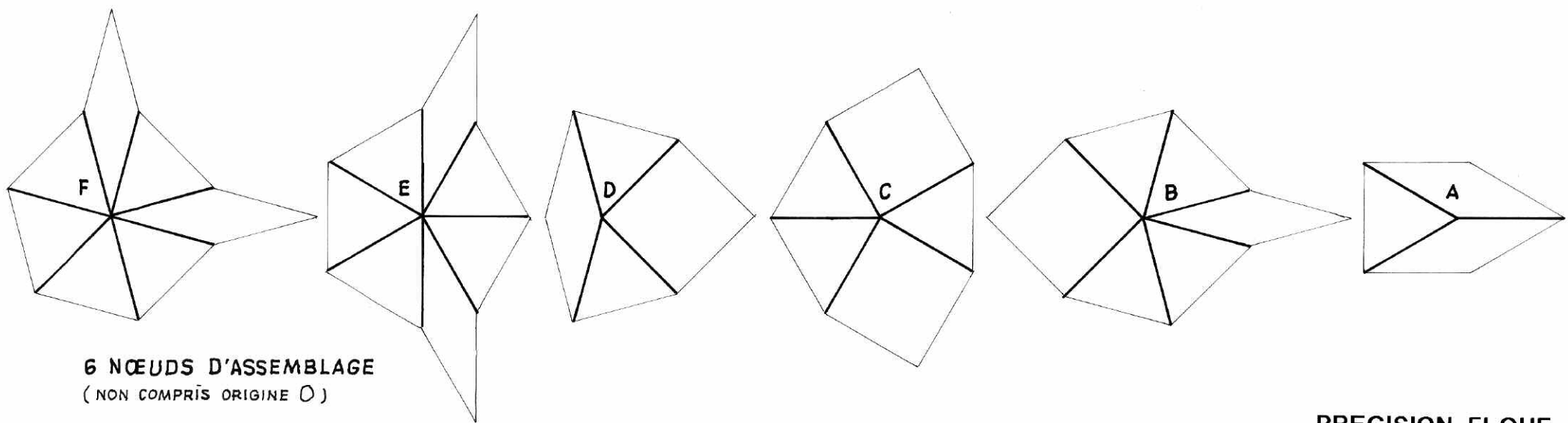
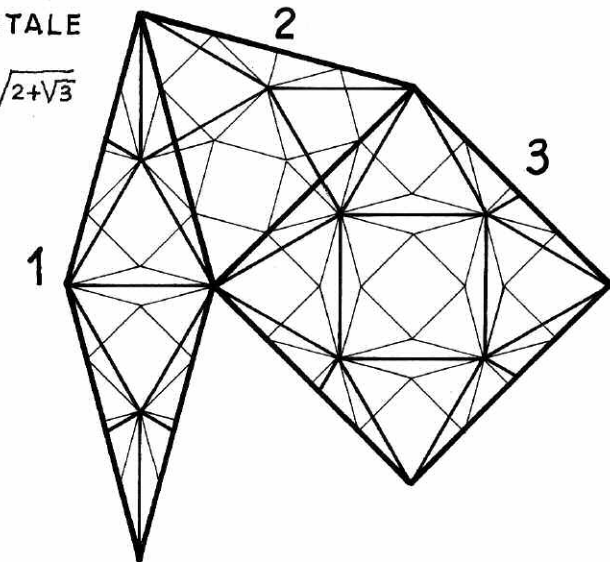


ELEMENTS DU PAVAGE
ORGANISATION ET TYPIFICATION

DISPOSITION FRACTALE

3 RAPPORTS SUCCESSIFS

RYTHME D'EXPANSION: $\sqrt{2 + \sqrt{3}}$

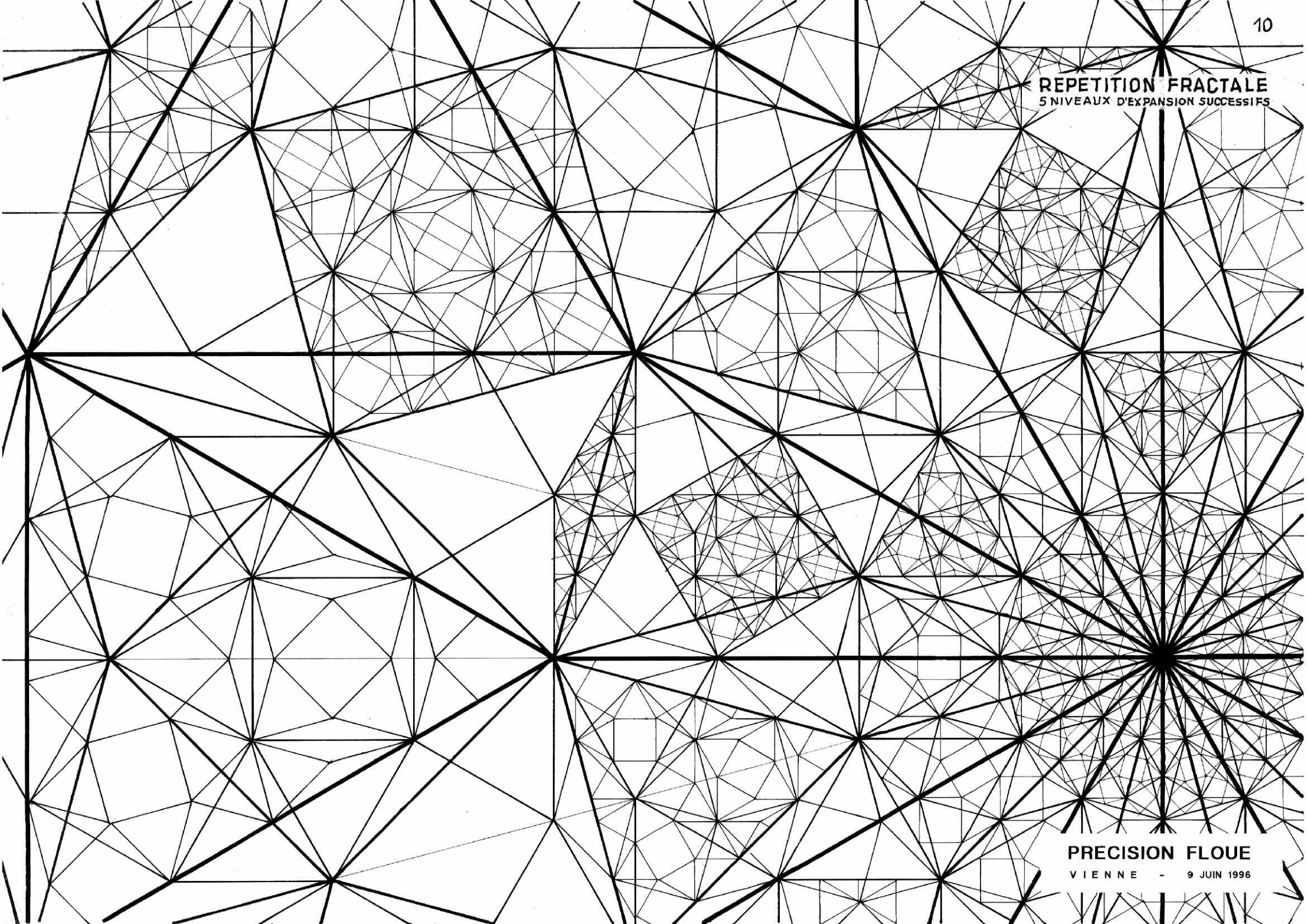


PRECISION FLOUE

VIENNE - 9 JUIN 1996

PAVAGE
(NIVEAU 3)

PRECISION FLOUE
VIENNE - 9 JUIN 1996



10

REPETITION FRACTALE
5 NIVEAUX D'EXPANSION SUCCESSIFS

PRECISION FLOUE
VIENNE - 9 JUIN 1996

